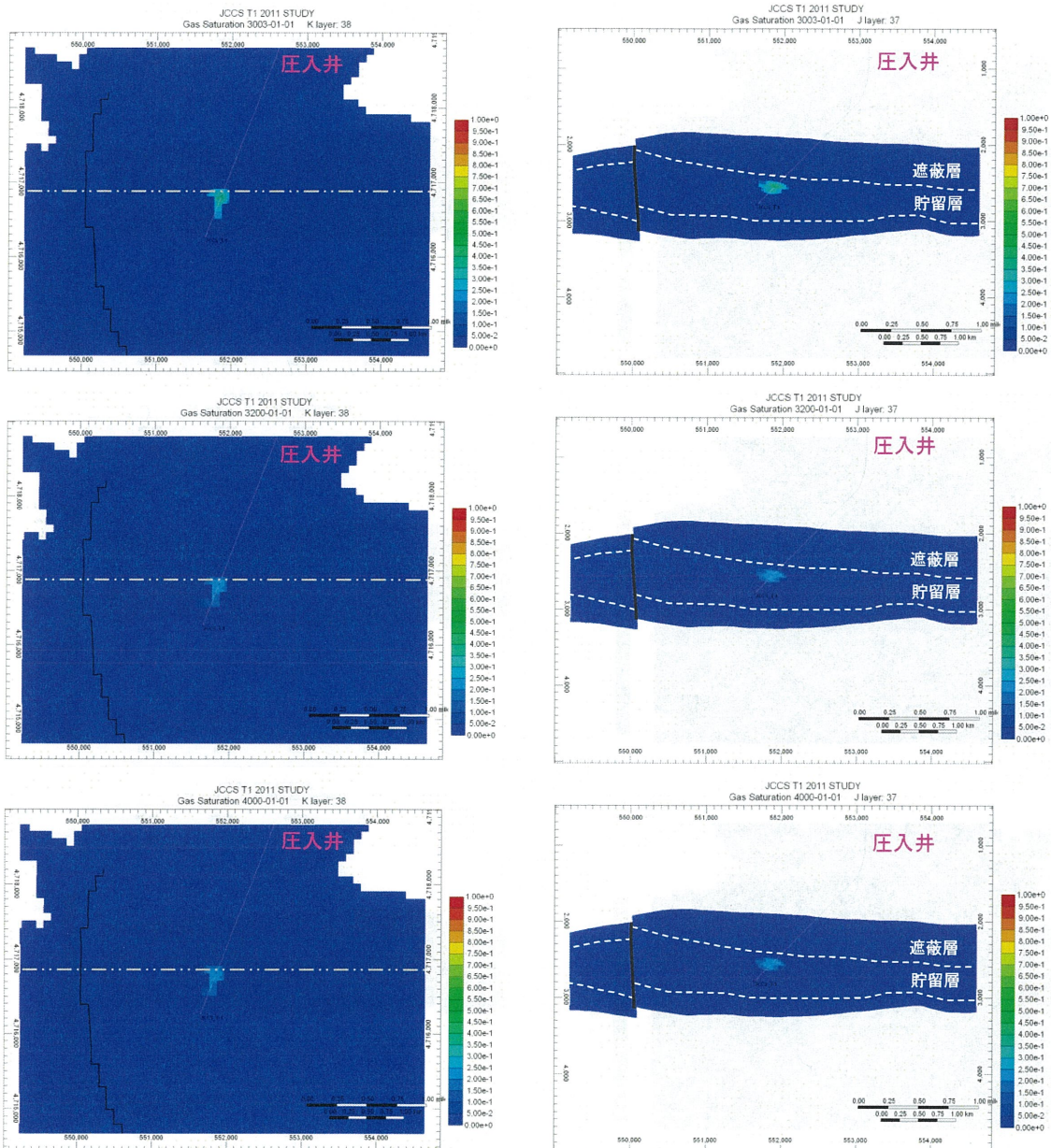


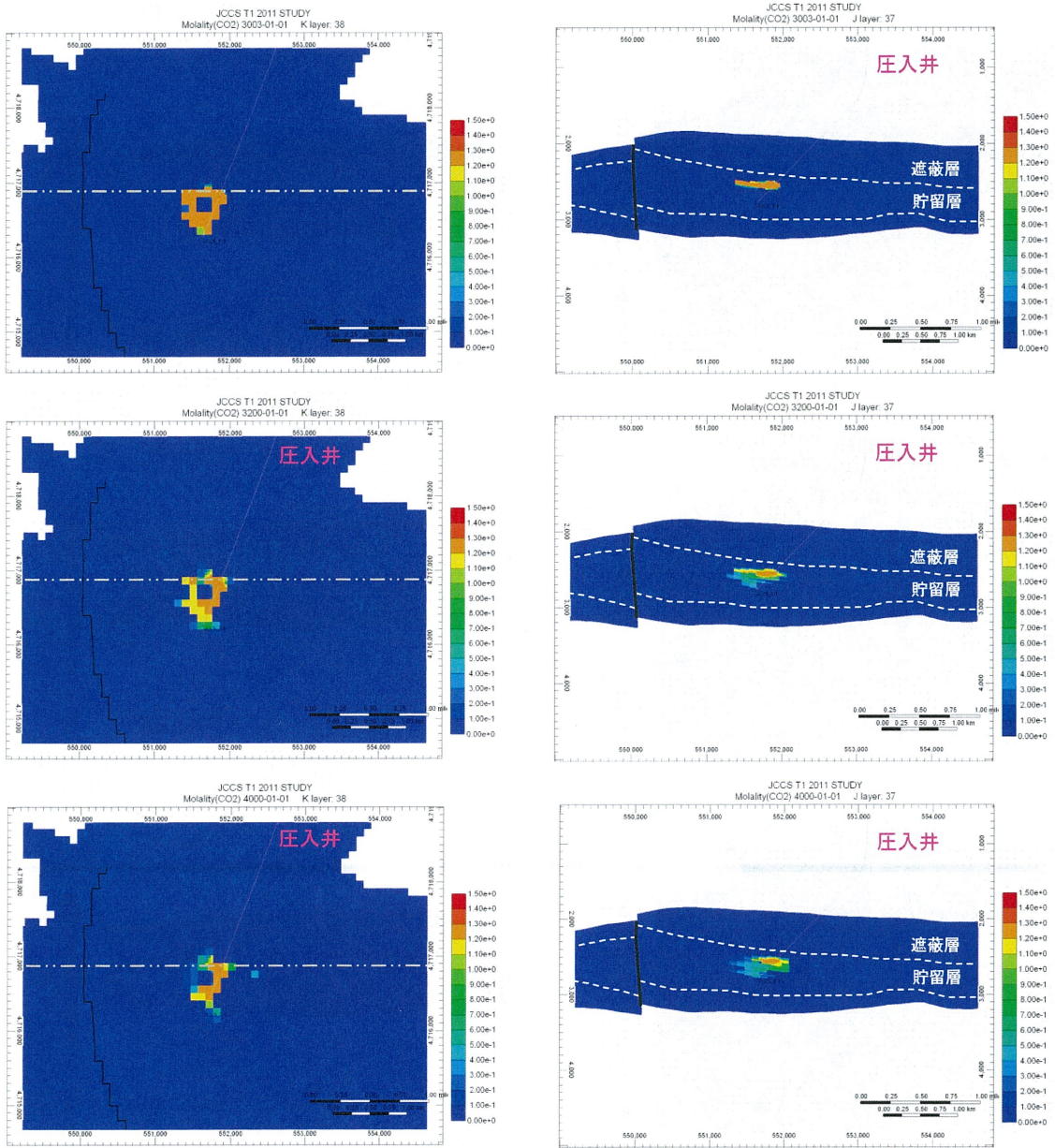
注：上段：圧入終了時（3年後），中段：200年後，下段：1,000年後。上段：平面分布（k方向セル38），下段：東西断面（位置は平面分布の点線の位置）。

第 2. 2-37 図 P50 モデルにおける CO<sub>2</sub> 飽和度の推移（平成 23 年度シミュレーション結果）



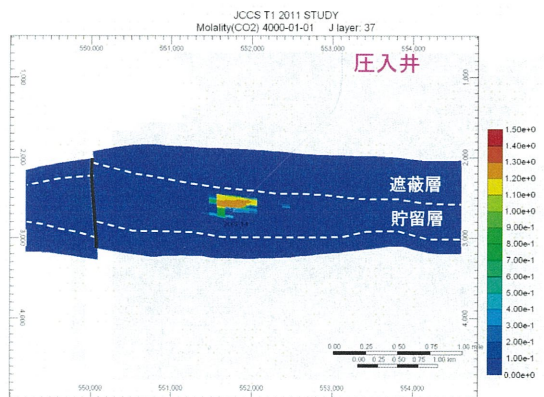
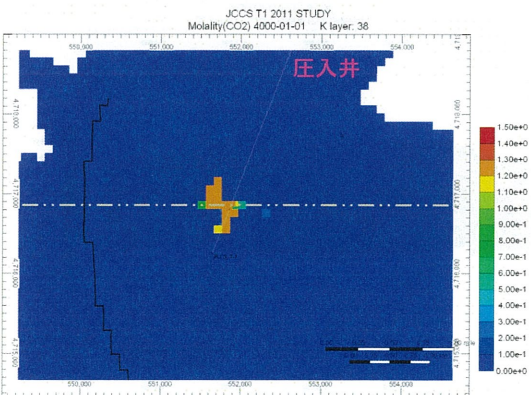
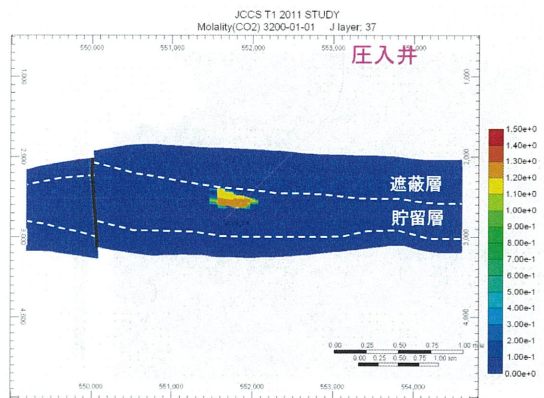
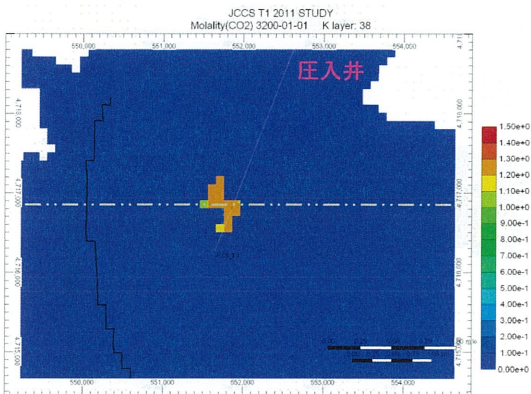
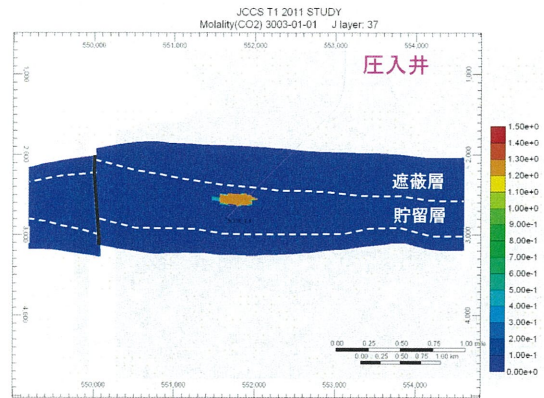
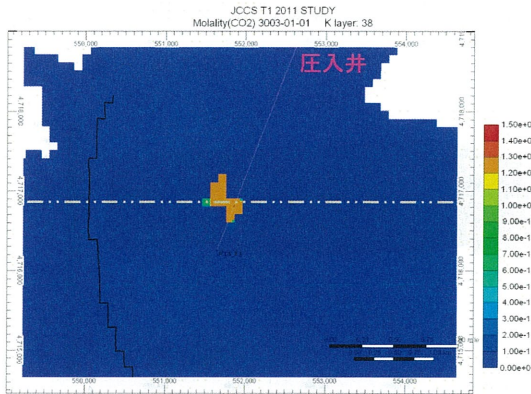
注：上段：圧入終了時（3年後），中段：200年後，下段：1,000年後。上段：平面分布（k方向セル38），下段：東西断面（位置は平面分布の点線の位置）。

第 2. 2-38 図 P90 モデルにおける CO<sub>2</sub> 飽和度の推移（平成 23 年度シミュレーション結果）



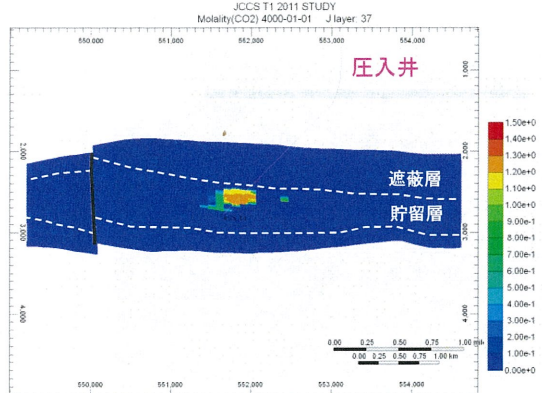
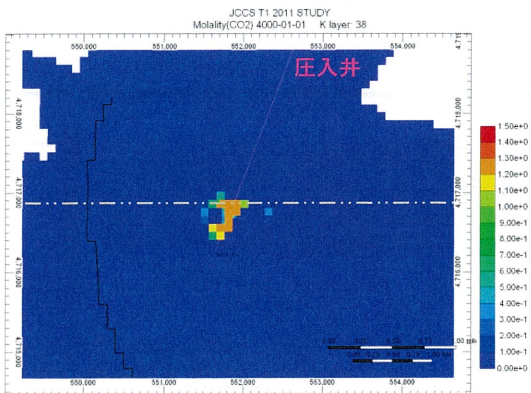
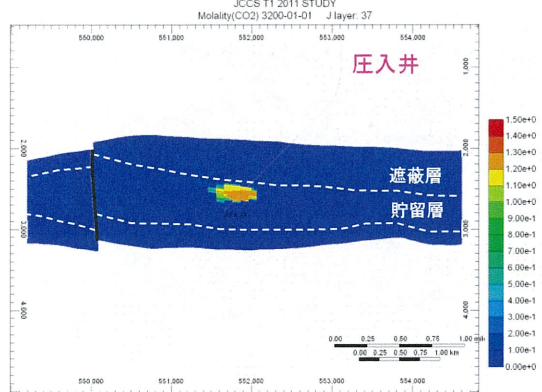
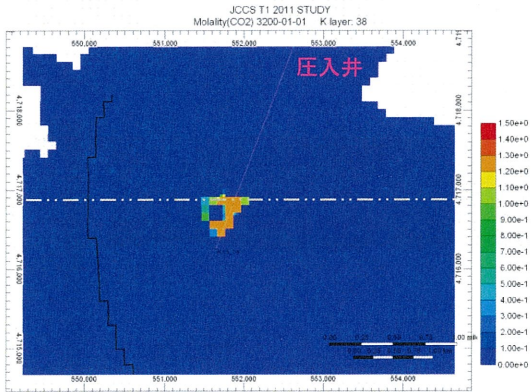
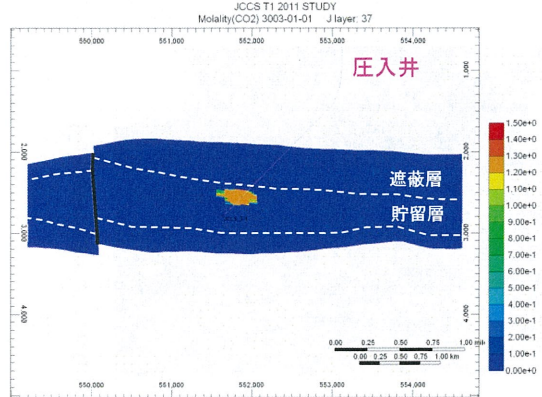
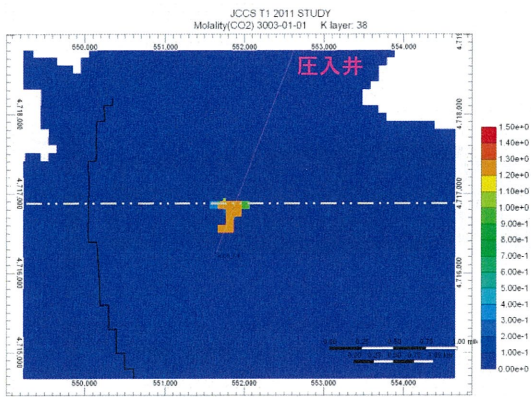
注：上段：圧入終了時（3年後），中段：200年後，下段：1,000年後。上段：平面分布（k方向セル38），下段：東西断面（位置は平面分布の点線の位置）。単位は，mol/kg。

第 2.2-39 図 P10 モデルにおける溶解 CO<sub>2</sub> 量の推移（平成 23 年度シミュレーション結果）



注：上段：圧入終了時（3年後），中段：200年後，下段：1,000年後。上段：平面分布（k方向セル38），下段：東西断面（位置は平面分布の点線の位置）。単位は，mol/kg。

第 2.2-40 図 P50 モデルにおける溶解 CO<sub>2</sub> 量の推移（平成 23 年度シミュレーション結果）



注：上段：圧入終了時（3年後），中段：200年後，下段：1,000年後。上段：平面分布（k方向セル38），下段：東西断面（位置は平面分布の点線の位置）。単位は，mol/kg。

第 2. 2-41 図 P90 モデルにおける溶解 CO<sub>2</sub> 量の推移（平成 23 年度シミュレーション結果）